

TS345
-
Codage pour la 5G

Romain Tajan

15 octobre 2019

Plan

1 Codes Linéaires (binaires) en blocs

2 LDPC

Codes linéaires en blocs

Définitions

- 1 À partir de sa **matrice génératrice** G de taille $k \times n$: $\mathcal{C} = \left\{ \mathbf{u}G \mid \mathbf{u} \in \mathbb{F}_2^k \right\}$

Codes linéaires en blocs

Définitions

- 1 À partir de sa **matrice génératrice** G de taille $k \times n$: $\mathcal{C} = \{\mathbf{u}G \mid \mathbf{u} \in \mathbb{F}_2^k\}$
- 2 À partir de sa **matrice de parité** H de taille $n - k \times n$: $\mathcal{C} = \{\mathbf{c} \in \mathbb{F}_2^n \mid \mathbf{c}H^T = \mathbf{0}\}$

- 1 G et H ne sont pas uniques
- 2 G et H vérifient $GH^T = 0_{k \times n-k}$. Vrai pour tout couple de matrices (G, H) d'un même code

Codes linéaires en blocs

Définitions

- 1 À partir de sa **matrice génératrice** G de taille $k \times n$: $\mathcal{C} = \{\mathbf{u}G \mid \mathbf{u} \in \mathbb{F}_2^k\}$
- 2 À partir de sa **matrice de parité** H de taille $n - k \times n$: $\mathcal{C} = \{\mathbf{c} \in \mathbb{F}_2^n \mid \mathbf{c}H^T = \mathbf{0}\}$

- 1 G et H ne sont pas uniques
- 2 G et H vérifient $GH^T = 0_{k \times n-k}$. Vrai pour tout couple de matrices (G, H) d'un même code
- 3 $k \leq n \Rightarrow$ le codage "ajoute de la redondance"

Codes linéaires en blocs

Définitions

- 1 À partir de sa **matrice génératrice** G de taille $k \times n$: $\mathcal{C} = \{ \mathbf{u}G \mid \mathbf{u} \in \mathbb{F}_2^k \}$
- 2 À partir de sa **matrice de parité** H de taille $n - k \times n$: $\mathcal{C} = \{ \mathbf{c} \in \mathbb{F}_2^n \mid \mathbf{c}H^T = \mathbf{0} \}$

- 1 G et H ne sont pas uniques
- 2 G et H vérifient $GH^T = 0_{k \times n-k}$. Vrai pour tout couple de matrices (G, H) d'un même code
- 3 $k \leq n \Rightarrow$ le codage "ajoute de la redondance"
- 4 Rendement de code :

$$R = \frac{\text{rang}(G)}{n} = \frac{n - \text{rang}(H)}{n}$$

Décodage du Maximum a Posteriori (MAP)

Définition

- Soit \mathcal{C} un code (M, n) donné.
- Le **décodeur** du **Maximum A Posteriori (MAP)** est la fonction de \mathbf{y} définie par :

$$\Psi_{MAP}(\mathbf{y}) = \operatorname{argmax}_{w \in \mathcal{M}} \mathbb{P}(W = w | \mathbf{Y} = \mathbf{y})$$

Le décodeur MAP minimise P_e

Décodage MAP sur canaux classiques

Soit le **décodeur** MAP défini par : $\Psi_{MAP}(\mathbf{y}) = \underset{w \in \mathcal{M}}{\operatorname{argmax}} \mathbb{P}(W = w | \mathbf{Y} = \mathbf{y})$

- 1 Sur canal BSC : $\Psi_{MAP}(\mathbf{y}) = \underset{\mathbf{c} \in \mathcal{C}}{\operatorname{argmin}} d_H(\mathbf{c}, \mathbf{y})$
- 2 Sur canal AWGN : $\Psi_{MAP}(\mathbf{y}) = \underset{\mathbf{c} \in \mathcal{C}}{\operatorname{argmin}} d_E(1 - 2\mathbf{c}, \mathbf{y})$

Décodage MAP sur canaux classiques

Soit le **décodeur** MAP défini par : $\Psi_{MAP}(\mathbf{y}) = \underset{w \in \mathcal{M}}{\operatorname{argmax}} \mathbb{P}(W = w | \mathbf{Y} = \mathbf{y})$

- 1 Sur canal BSC : $\Psi_{MAP}(\mathbf{y}) = \underset{\mathbf{c} \in \mathcal{C}}{\operatorname{argmin}} d_H(\mathbf{c}, \mathbf{y})$
- 2 Sur canal AWGN : $\Psi_{MAP}(\mathbf{y}) = \underset{\mathbf{c} \in \mathcal{C}}{\operatorname{argmin}} d_E(1 - 2\mathbf{c}, \mathbf{y})$

Sans structure sur \mathcal{C} , ces deux décodeurs sont trop complexes !

Décodage du Maximum a Posteriori (MAP-bit)

Définition

- Soit \mathcal{C} un code **binaire** (k, n) donné.
- Le **décodeur du Maximum A Posteriori bit (MAP-bit)** est la fonction de \mathbf{y} définie par :

$$\psi_{MAP-bit}^{(j)}(\mathbf{y}) = \underset{u \in \{0,1\}}{\operatorname{argmax}} \mathbb{P}(U_j = u | \mathbf{Y} = \mathbf{y})$$

- En pratique on calcule les **Logarithmes de rapports de vraisemblances** (LLR) :

$$L(U_i) = \log \frac{\mathbb{P}(U_i = 0 | \mathbf{y})}{\mathbb{P}(U_i = 1 | \mathbf{y})}$$

- Le décodeur **MAP** minimise P_b (la probabilité d'erreur binaire)
- Le signe des LLRs : décisions MAP-bit
- Le module des LLRs : fiabilité des décisions

MAP-bit (2)

MAP-bit

- Le **décodeur MAP-bit** encodage systématique :

$$\Psi_{MAP-bit}^{(j)}(\mathbf{y}) = \operatorname{argmax}_{x_j \in \{0,1\}} \mathbb{P}(X_j = x_j | \mathbf{Y} = \mathbf{y})$$

MAP-bit (2)

MAP-bit

- Le **décodeur MAP-bit** encodage systématique :

$$\Psi_{MAP-bit}^{(j)}(\mathbf{y}) = \operatorname{argmax}_{x_j \in \{0,1\}} \mathbb{P}(X_j = x_j | \mathbf{Y} = \mathbf{y})$$

- Le **décodeur MAP-bit** encodage systématique (2) :

$$\Psi_{MAP-bit}^{(j)}(\mathbf{y}) = \operatorname{argmax}_{x'_j \in \{0,1\}} \sum_{\substack{\mathbf{x} \in \mathbb{F}_2^n \\ \text{avec } x_j = x'_j}} \mathbb{P}(\mathbf{Y} = \mathbf{y} | \mathbf{X} = \mathbf{x}) \mathbb{1}(\mathbf{x}H^T = \mathbf{0})$$

MAP-bit (2)

MAP-bit

- Le **décodeur MAP-bit** encodage systématique :

$$\Psi_{MAP-bit}^{(j)}(\mathbf{y}) = \operatorname{argmax}_{x_j \in \{0,1\}} \mathbb{P}(X_j = x_j | \mathbf{Y} = \mathbf{y})$$

- Le **décodeur MAP-bit** encodage systématique (2) :

$$\begin{aligned} \Psi_{MAP-bit}^{(j)}(\mathbf{y}) &= \operatorname{argmax}_{x'_j \in \{0,1\}} \sum_{\substack{\mathbf{x} \in \mathbb{F}_2^n \\ \text{avec } x_j = x'_j}} \mathbb{P}(\mathbf{Y} = \mathbf{y} | \mathbf{X} = \mathbf{x}) \mathbb{1}(\mathbf{x}H^T = \mathbf{0}) \\ &= \operatorname{argmax}_{x'_j \in \{0,1\}} \sum_{\substack{\mathbf{x} \in \mathbb{F}_2^n \\ \text{avec } x_j = x'_j}} \prod_{i=0}^{n-1} \mathbb{P}(Y_i = y_i | X_i = x_i) \mathbb{1}(\mathbf{x}H^T = \mathbf{0}) \end{aligned}$$

MAP-bit (2)

MAP-bit

- Le **décodeur MAP-bit** encodage systématique :

$$\Psi_{MAP-bit}^{(j)}(\mathbf{y}) = \operatorname{argmax}_{x_j \in \{0,1\}} \mathbb{P}(X_j = x_j | \mathbf{Y} = \mathbf{y})$$

- Le **décodeur MAP-bit** encodage systématique (2) :

$$\begin{aligned} \Psi_{MAP-bit}^{(j)}(\mathbf{y}) &= \operatorname{argmax}_{x'_j \in \{0,1\}} \sum_{\substack{\mathbf{x} \in \mathbb{F}_2^n \\ \text{avec } x_j = x'_j}} \mathbb{P}(\mathbf{Y} = \mathbf{y} | \mathbf{X} = \mathbf{x}) \mathbb{1}(\mathbf{x}H^T = \mathbf{0}) \\ &= \operatorname{argmax}_{x'_j \in \{0,1\}} \sum_{\substack{\mathbf{x} \in \mathbb{F}_2^n \\ \text{avec } x_j = x'_j}} \prod_{i=0}^{n-1} \mathbb{P}(Y_i = y_i | X_i = x_i) \mathbb{1}(\mathbf{x}H^T = \mathbf{0}) \end{aligned}$$

Sans structure sur \mathcal{C} , ce décodeur est aussi trop complexe !

Plan

1 Codes Linéaires (binaires) en blocs

2 LDPC

- ▶ Présentation générale
- ▶ Définition
- ▶ Graphe de Tanner associé à un code LDPC

Codes Low Density Parity Check (LDPC)

- Introduits par Gallager pendant sa **thèse de doctorat** en 1963

Codes Low Density Parity Check (LDPC)

- Introduits par Gallager pendant sa **thèse de doctorat** en 1963
 - Codes possédant une **matrice de parité peu dense**

Codes Low Density Parity Check (LDPC)

- Introduits par Gallager pendant sa **thèse de doctorat** en 1963
 - Codes possédant une **matrice de parité peu dense**
 - Codes pouvant être analysés (exposant d'erreur)

Codes Low Density Parity Check (LDPC)

- Introduits par Gallager pendant sa **thèse de doctorat** en 1963
 - Codes possédant une **matrice de parité peu dense**
 - Codes pouvant être analysés (exposant d'erreur)
 - Décodage simplifié

Codes Low Density Parity Check (LDPC)

- Introduits par Gallager pendant sa **thèse de doctorat** en 1963
 - Codes possédant une **matrice de parité peu dense**
 - Codes pouvant être analysés (exposant d'erreur)
 - Décodage simplifié
- **Peu de travaux** pendant ~ 30 ans (Tanner en 1981)

Codes Low Density Parity Check (LDPC)

- Introduits par Gallager pendant sa **thèse de doctorat** en 1963
 - Codes possédant une **matrice de parité peu dense**
 - Codes pouvant être analysés (exposant d'erreur)
 - Décodage simplifié
- **Peu de travaux** pendant ~ 30 ans (Tanner en 1981)
 - Codes représentable à l'aide d'un **graphe bipartite (graphe de Tanner)**

Codes Low Density Parity Check (LDPC)

- Introduits par Gallager pendant sa **thèse de doctorat** en 1963
 - Codes possédant une **matrice de parité peu dense**
 - Codes pouvant être analysés (exposant d'erreur)
 - Décodage simplifié
- **Peu de travaux** pendant ~ 30 ans (Tanner en 1981)
 - Codes représentable à l'aide d'un **graphe bipartite (graphe de Tanner)**
 - Décodage possible à l'aide du graphe

Codes Low Density Parity Check (LDPC)

- Introduits par Gallager pendant sa **thèse de doctorat** en 1963
 - Codes possédant une **matrice de parité peu dense**
 - Codes pouvant être analysés (exposant d'erreur)
 - Décodage simplifié
- **Peu de travaux** pendant ~ 30 ans (Tanner en 1981)
 - Codes représentable à l'aide d'un **graphe bipartite (graphe de Tanner)**
 - Décodage possible à l'aide du graphe
 - Performances dépendant des propriétés du graphe

Codes Low Density Parity Check (LDPC)

- Introduits par Gallager pendant sa **thèse de doctorat** en 1963
 - Codes possédant une **matrice de parité peu dense**
 - Codes pouvant être analysés (exposant d'erreur)
 - Décodage simplifié
- **Peu de travaux** pendant ~ 30 ans (Tanner en 1981)
 - Codes représentable à l'aide d'un **graphe bipartite (graphe de Tanner)**
 - Décodage possible à l'aide du graphe
 - Performances dépendant des propriétés du graphe
- Algorithme de propagation de croyance (IA) (Pearl en 1988)

Codes Low Density Parity Check (LDPC)

- Introduits par Gallager pendant sa **thèse de doctorat** en 1963
 - Codes possédant une **matrice de parité peu dense**
 - Codes pouvant être analysés (exposant d'erreur)
 - Décodage simplifié
- **Peu de travaux** pendant ~ 30 ans (Tanner en 1981)
 - Codes représentable à l'aide d'un **graphe bipartite (graphe de Tanner)**
 - Décodage possible à l'aide du graphe
 - Performances dépendant des propriétés du graphe
- Algorithme de propagation de croyance (IA) (Pearl en 1988)
 - Algorithme de propagation de croyance (BP - Belief Propagation)

Codes Low Density Parity Check (LDPC)

- Introduits par Gallager pendant sa **thèse de doctorat** en 1963
 - Codes possédant une **matrice de parité peu dense**
 - Codes pouvant être analysés (exposant d'erreur)
 - Décodage simplifié
- **Peu de travaux** pendant ~ 30 ans (Tanner en 1981)
 - Codes représentable à l'aide d'un **graphe bipartite (graphe de Tanner)**
 - Décodage possible à l'aide du graphe
 - Performances dépendant des propriétés du graphe
- Algorithme de propagation de croyance (IA) (Pearl en 1988)
 - Algorithme de propagation de croyance (BP - Belief Propagation)
- **Redécouverte** des codes LDPC (MacKay, Luby fin 1990)

Codes Low Density Parity Check (LDPC)

- Introduits par Gallager pendant sa **thèse de doctorat** en 1963
 - Codes possédant une **matrice de parité peu dense**
 - Codes pouvant être analysés (exposant d'erreur)
 - Décodage simplifié
- **Peu de travaux** pendant ~ 30 ans (Tanner en 1981)
 - Codes représentable à l'aide d'un **graphe bipartite (graphe de Tanner)**
 - Décodage possible à l'aide du graphe
 - Performances dépendant des propriétés du graphe
- Algorithme de propagation de croyance (IA) (Pearl en 1988)
 - Algorithme de propagation de croyance (BP - Belief Propagation)
- **Redécouverte** des codes LDPC (MacKay, Luby fin 1990)
 - (Re)Montrent que les codes LDPC sont de bons codes

Codes Low Density Parity Check (LDPC)

- Introduits par Gallager pendant sa **thèse de doctorat** en 1963
 - Codes possédant une **matrice de parité peu dense**
 - Codes pouvant être analysés (exposant d'erreur)
 - Décodage simplifié
- **Peu de travaux** pendant ~ 30 ans (Tanner en 1981)
 - Codes représentable à l'aide d'un **graphe bipartite (graphe de Tanner)**
 - Décodage possible à l'aide du graphe
 - Performances dépendant des propriétés du graphe
- Algorithme de propagation de croyance (IA) (Pearl en 1988)
 - Algorithme de propagation de croyance (BP - Belief Propagation)
- **Redécouverte** des codes LDPC (MacKay, Luby fin 1990)
 - (Re)Montrent que les codes LDPC sont de bons codes

Définition des codes LDPC

Définitions

- 1 Soit une matrice H

$$H = \begin{pmatrix} h_{0,0} & h_{0,1} & \dots & h_{0,n-1} \\ h_{1,0} & h_{1,1} & \dots & h_{1,n-1} \\ \vdots & \vdots & & \vdots \\ h_{m-1,0} & h_{m-1,1} & \dots & h_{m-1,n-1} \end{pmatrix}$$

Densité de H : $\frac{|\{i,j : h_{i,j} = 1\}|}{m n}$

- 2 **Codes LDPC** : Codes possédant une matrice de parité H peu dense (creuse). Ordre de grandeur pour n grand ≤ 0.01 .
- 3 **Codes réguliers** : poids des lignes constant r , poids des colonnes constant g
- 4 Rendement d'un code LDPC régulier : $R \geq 1 - \frac{m}{n} = 1 - \frac{g}{r}$
- 5 $R_d = 1 - \frac{g}{r}$ est appelé **rendement de construction** d'un code LDPC

Définition des codes LDPC

Petit TD dans le cours...

Soit une matrice H

$$H = \begin{pmatrix} 1 & 1 & 1 & 1 & 0 & 0 & 0 & 0 & 0 & 0 \\ 1 & 0 & 0 & 0 & 1 & 1 & 1 & 0 & 0 & 0 \\ 0 & 1 & 0 & 0 & 1 & 0 & 0 & 1 & 1 & 0 \\ 0 & 0 & 1 & 0 & 0 & 1 & 0 & 1 & 0 & 1 \\ 0 & 0 & 0 & 1 & 0 & 0 & 1 & 0 & 1 & 1 \end{pmatrix}$$

- 1 Donner la densité de H
- 2 H définit-elle un code LDPC régulier ?
- 3 Si oui, que valent g et r ?
- 4 Combien vaut le rendement de construction de ce code ?
- 5 Combien vaut le rendement de ce code ?

Graphe de Tanner

Le **graphe de Tanner** est un **graphe bipartite** avec :

- 1 **n nœuds de variables** représentant les variables $x_j, j \in \{0, \dots, n-1\}$

x_0	x_1	x_2	x_3	x_4	x_5	x_6	x_7	x_8	x_9
$=$	$=$	$=$	$=$	$=$	$=$	$=$	$=$	$=$	$=$

$$H = \begin{pmatrix} 1 & 1 & 1 & 1 & 0 & 0 & 0 & 0 & 0 & 0 \\ 1 & 0 & 0 & 0 & 1 & 1 & 1 & 0 & 0 & 0 \\ 0 & 1 & 0 & 0 & 1 & 0 & 0 & 1 & 1 & 0 \\ 0 & 0 & 1 & 0 & 0 & 1 & 0 & 1 & 0 & 1 \\ 0 & 0 & 0 & 1 & 0 & 0 & 1 & 0 & 1 & 1 \end{pmatrix}$$

Graphe de Tanner

Le **graphe de Tanner** est un **graphe bipartite** avec :

- 1 n **nœuds de variables** représentant les variables $x_j, j \in \{0, \dots, n-1\}$
- 2 m **nœuds de parité (contrôle)** $c_i, i \in \{0, \dots, m-1\}$

x_0	x_1	x_2	x_3	x_4	x_5	x_6	x_7	x_8	x_9
$=$	$=$	$=$	$=$	$=$	$=$	$=$	$=$	$=$	$=$

$$H = \begin{pmatrix} 1 & 1 & 1 & 1 & 0 & 0 & 0 & 0 & 0 & 0 \\ 1 & 0 & 0 & 0 & 1 & 1 & 1 & 0 & 0 & 0 \\ 0 & 1 & 0 & 0 & 1 & 0 & 0 & 1 & 1 & 0 \\ 0 & 0 & 1 & 0 & 0 & 1 & 0 & 1 & 0 & 1 \\ 0 & 0 & 0 & 1 & 0 & 0 & 1 & 0 & 1 & 1 \end{pmatrix}$$

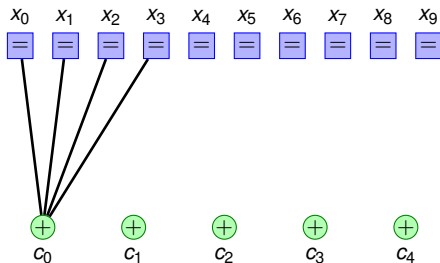
$+$	$+$	$+$	$+$	$+$
c_0	c_1	c_2	c_3	c_4

Graphe de Tanner

Le **graphe de Tanner** est un **graphe bipartite** avec :

- 1 n **nœuds de variables** représentant les variables $x_j, j \in \{0, \dots, n-1\}$
- 2 m **nœuds de parité (contrôle)** $c_i, i \in \{0, \dots, m-1\}$
- 3 Une arête est dessinée entre nœud de variable x_j et le nœud de parité c_i ssi $h_{i,j} = 1$

$$H = \begin{pmatrix} 1 & 1 & 1 & 1 & 0 & 0 & 0 & 0 & 0 & 0 \\ 1 & 0 & 0 & 0 & 1 & 1 & 1 & 0 & 0 & 0 \\ 0 & 1 & 0 & 0 & 1 & 0 & 0 & 1 & 1 & 0 \\ 0 & 0 & 1 & 0 & 0 & 1 & 0 & 1 & 0 & 1 \\ 0 & 0 & 0 & 1 & 0 & 0 & 1 & 0 & 1 & 1 \end{pmatrix}$$

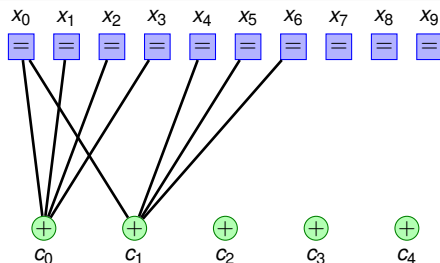


Graphe de Tanner

Le **graphe de Tanner** est un **graphe bipartite** avec :

- 1 n **nœuds de variables** représentant les variables $x_j, j \in \{0, \dots, n-1\}$
- 2 m **nœuds de parité (contrôle)** $c_i, i \in \{0, \dots, m-1\}$
- 3 Une arête est dessinée entre nœud de variable x_j et le nœud de parité c_i ssi $h_{i,j} = 1$

$$H = \begin{pmatrix} 1 & 1 & 1 & 1 & 0 & 0 & 0 & 0 & 0 & 0 \\ 1 & 0 & 0 & 0 & 1 & 1 & 1 & 0 & 0 & 0 \\ 0 & 1 & 0 & 0 & 1 & 0 & 0 & 1 & 1 & 0 \\ 0 & 0 & 1 & 0 & 0 & 1 & 0 & 1 & 0 & 1 \\ 0 & 0 & 0 & 1 & 0 & 0 & 1 & 0 & 1 & 1 \end{pmatrix}$$

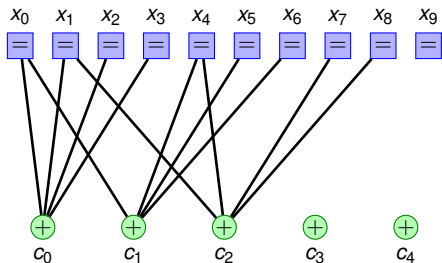


Graphe de Tanner

Le **graphe de Tanner** est un **graphe bipartite** avec :

- 1 n **nœuds de variables** représentant les variables $x_j, j \in \{0, \dots, n-1\}$
- 2 m **nœuds de parité (contrôle)** $c_i, i \in \{0, \dots, m-1\}$
- 3 Une arête est dessinée entre nœud de variable x_j et le nœud de parité c_i ssi $h_{i,j} = 1$

$$H = \begin{pmatrix} 1 & 1 & 1 & 1 & 0 & 0 & 0 & 0 & 0 & 0 \\ 1 & 0 & 0 & 0 & 1 & 1 & 1 & 0 & 0 & 0 \\ 0 & 1 & 0 & 0 & 1 & 0 & 0 & 1 & 1 & 0 \\ 0 & 0 & 1 & 0 & 0 & 1 & 0 & 1 & 0 & 1 \\ 0 & 0 & 0 & 1 & 0 & 0 & 1 & 0 & 1 & 1 \end{pmatrix}$$

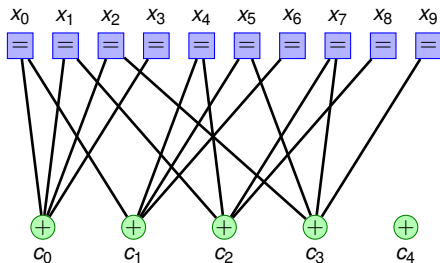


Graphe de Tanner

Le **graphe de Tanner** est un **graphe bipartite** avec :

- 1 n **nœuds de variables** représentant les variables $x_j, j \in \{0, \dots, n-1\}$
- 2 m **nœuds de parité (contrôle)** $c_i, i \in \{0, \dots, m-1\}$
- 3 Une arête est dessinée entre nœud de variable x_j et le nœud de parité c_i ssi $h_{i,j} = 1$

$$H = \begin{pmatrix} 1 & 1 & 1 & 1 & 0 & 0 & 0 & 0 & 0 & 0 \\ 1 & 0 & 0 & 0 & 1 & 1 & 1 & 0 & 0 & 0 \\ 0 & 1 & 0 & 0 & 1 & 0 & 0 & 1 & 1 & 0 \\ 0 & 0 & 1 & 0 & 0 & 1 & 0 & 1 & 0 & 1 \\ 0 & 0 & 0 & 1 & 0 & 0 & 1 & 0 & 1 & 1 \end{pmatrix}$$



Graphe de Tanner

Le **graphe de Tanner** est un **graphe bipartite** avec :

- 1 n **nœuds de variables** représentant les variables $x_j, j \in \{0, \dots, n-1\}$
- 2 m **nœuds de parité (contrôle)** $c_i, i \in \{0, \dots, m-1\}$
- 3 Une arête est dessinée entre nœud de variable x_j et le nœud de parité c_i ssi $h_{i,j} = 1$

$$H = \begin{pmatrix} 1 & 1 & 1 & 1 & 0 & 0 & 0 & 0 & 0 & 0 \\ 1 & 0 & 0 & 0 & 1 & 1 & 1 & 0 & 0 & 0 \\ 0 & 1 & 0 & 0 & 1 & 0 & 0 & 1 & 1 & 0 \\ 0 & 0 & 1 & 0 & 0 & 1 & 0 & 1 & 0 & 1 \\ 0 & 0 & 0 & 1 & 0 & 0 & 1 & 0 & 1 & 1 \end{pmatrix}$$

